



ITMO UNIVERSITY

# Геометрический подход к синтезу робастных законов управления

Борисов Олег Игоревич

Факультет систем управления и робототехники, Университет ИТМО

1–4 февраля 2022

1. Метод расширенного наблюдателя
2. Метод внутренней модели
3. Приложение 1. Управление манипуляционным роботом
4. Приложение 2. Управление квадрокоптером

# Метод расширенного наблюдателя

Рассмотрим класс нелинейных систем вида

$$\begin{aligned}\dot{x} &= f(x) + g(x)u, \\ y &= h(x),\end{aligned}\tag{1}$$

где  $x \in \mathbb{R}^n$  — вектор состояния,  $f(x)$ ,  $g(x)$  и  $h(x)$  — гладкие функции.

Осуществим глобальную замену переменных для преобразования системы (1) в строгую нормальную форму вида

$$\begin{aligned}\dot{z} &= f_0(z, \xi), \\ \dot{\xi}_1 &= \xi_2, \\ \dot{\xi}_2 &= \xi_3, \\ &\vdots \\ \dot{\xi}_{r-1} &= \xi_r, \\ \dot{\xi}_r &= q(z, \xi) + b(z, \xi)u, \\ y &= \xi_1,\end{aligned}\tag{2}$$

где  $r$  — относительная степень,  $b(z, \xi)$  ограничена как  $0 < b_{min} \leq b(z, \xi) \leq b_{max}$ .

Система (2) может быть представлена как

$$\begin{aligned}\dot{z} &= f_0(z, \xi), \\ \dot{\xi} &= A\xi + B[q(z, \xi) + b(z, \xi)u], \\ y &= C\xi,\end{aligned}\tag{3}$$

где

$$A = \begin{pmatrix} 0 & 1 & 0 & \dots & 0 \\ 0 & 0 & 1 & \dots & 0 \\ \vdots & & & & \\ 0 & 0 & 0 & \dots & 1 \\ 0 & 0 & 0 & \dots & 0 \end{pmatrix}, \quad B = \begin{pmatrix} 0 \\ 0 \\ \vdots \\ 0 \\ 1 \end{pmatrix}, \quad C = (1 \quad 0 \quad \dots \quad 0 \quad 0).$$

Выражение  $\dot{z} = f_0(z, \xi)$  отражает нуль-динамику системы. Если она содержит управление

$$\dot{z} = f_0(z, \xi) + g_0(z, \xi)u,$$

то такое представление системы носит название нестрогой нормальной формы.

Исходя из (3), выберем номинальный закон управления

$$u = b^{-1}(z, \xi)[-q(z, \xi) + K\xi], \quad (4)$$

подставив который в объект управления, получим замкнутую модель вида

$$\begin{aligned} \dot{z} &= f_0(z, \xi), \\ \dot{\xi} &= (A + BK)\xi, \\ y &= C\xi, \end{aligned} \quad (5)$$

где  $K$  может быть выбрана из условия гурвицевости матрицы  $A + BK$ . Для устойчивости всей системы в целом требуется допущение об асимптотической устойчивости нуль-динамики  $\dot{z} = f_0(z, \xi)$ . Системы с уточивой нуль-динамикой называются минимально-фазовыми.

! Однако, закон управления (4) является нереализуемым, поскольку содержит неопределенные составляющие  $b(z, \xi)$ ,  $q(z, \xi)$  и  $\xi$ .

Заменим нереализуемый закон управления

$$u = b^{-1}(z, \xi)[-q(z, \xi) + K\xi]$$

на

$$u = \text{sat}_N[\bar{b}^{-1}(-\sigma + K\hat{\xi})], \quad (6)$$

где  $\text{sat}_N(\cdot)$  — гладкая функция насыщения с пределом  $N$ ,  $\bar{b}$  — ненулевой параметр, удовлетворяющий условию

$$|[b(z, \xi) - \bar{b}]\bar{b}^{-1}| \leq \delta < 1,$$

$\hat{\xi}$  и  $\sigma$  — являются состоянием расширенного наблюдателя вида

$$\begin{aligned} \dot{\hat{\xi}}_1 &= \hat{\xi}_2 + \kappa a_r(y - \hat{\xi}_1), \\ \dot{\hat{\xi}}_2 &= \hat{\xi}_3 + \kappa^2 a_{r-1}(y - \hat{\xi}_1), \\ &\vdots \\ \dot{\hat{\xi}}_{r-1} &= \hat{\xi}_r + \kappa^{r-1} a_2(y - \hat{\xi}_1), \\ \dot{\hat{\xi}}_r &= \sigma + \bar{b}u + \kappa^r a_1(y - \hat{\xi}_1), \\ \dot{\sigma} &= \kappa^{r+1} a_0(y - \hat{\xi}_1), \end{aligned} \quad (7)$$

где  $\kappa$  и  $a_0, a_1, \dots, a_{r-1}, a_r$  — настроечные параметры.

- ▶ Параметр  $\bar{b}$  должен достаточно близко аппроксимировать функцию  $b(z, \xi)$ .
- ▶ Предел насыщения  $N$  должен обеспечивать охват достаточно большого множества начальных условий (значений задающего сигнала), для которых сохраняются свойства устойчивости.
- ▶ Матрица  $K$  выбирается из условия гурвицевости матрицы  $A + BK$ .
- ▶ Параметр  $\kappa$  должен иметь достаточно большое значение.
- ▶ Параметры  $a_0, a_1, \dots, a_{r-1}$  выбираются так, что собственные числа матрицы

$$A = \begin{pmatrix} -a_r & 1 & 0 & \dots & 0 \\ -a_{r-1} & 0 & 1 & \dots & 0 \\ \vdots & & & & \\ -a_1 & 0 & 0 & \dots & 1 \\ -a_0 & 0 & 0 & \dots & 0 \end{pmatrix}$$

вещественны и отрицательны.



Обратим внимание, что нереализуемый закон управления

$$u = b^{-1}(z, \xi)[-q(z, \xi) + K\xi]$$

обеспечивает в системе **глобальную асимптотическую устойчивость**.

В случае робастного закона управления

$$u = \text{sat}_N[\bar{b}^{-1}(-\sigma + K\hat{\xi})],$$

глобальная асимптотическая устойчивость недостижима по причине использования функции насыщения  $\text{sat}_N(\cdot)$ .

Однако, для фиксированного сколь угодно большого множества начальных условий может быть гарантирована ограниченность траекторий системы и их сходимости к сколь угодно малому множеству, что соответствует **полуглобальной практической устойчивости**.

Если, кроме того, нереализуемый закон управления обеспечивает локальную экспоненциальную устойчивость, то с помощью робастного закона управления достигается **полуглобальная асимптотическая устойчивость**.

### Утверждение

Для заданного произвольного компактного множества начальных условий существует набор параметров регулятора такой, что для  $t \geq 0$  все траектории замкнутой системы (3), (17), (18) остаются ограниченными и  $y(t)$  стремится к нулю при времени, стремящемся к бесконечности, что обеспечивает выполнение цели управления.

# Метод внутренней модели

Внешние воздействия могут быть представлены

- ▶ задающими сигналами (отрадают желаемое поведение системы)
- ▶ возмущающими сигналами (препятствуют достижению желаемого поведения)

Оба типа сигналов могут быть представлены как

$$\varrho = \delta + \rho,$$

где  $\delta$  — нерегулярная компонента, представляющая собой стохастическую функцию пренебрежимо малой амплитуды,  $\rho$  — регулярная компонента, представляющая собой детерминированную функцию доминирующей амплитуды.

Регулярная компонента  $\rho$  внешнего воздействия может рассматриваться как выход генератора вида

$$\begin{aligned}\dot{w} &= Sw, \\ \rho &= Hw,\end{aligned}\tag{8}$$

где  $w \in \mathbb{R}^{n_w}$  — вектор состояния с начальными условиями  $w(0)$ ,  $S$  — матрица состояния,  $H$  — матрица выхода.

Решением системы (8) является

$$\rho(t) = He^{St}w(0),$$

откуда видно, что параметры производимого сигнала  $\rho(t)$  зависят от матриц  $H$ ,  $S$  и начальных условий  $w(0)$ .

Построение генераторов может быть выполнено с использованием подхода последовательного дифференцирования.

Рассмотрим статический сигнал

$$\rho(t) = \mathcal{C} = \textit{const.} \quad (9)$$

Зададим первое состояние

$$w_1 = \mathcal{C}$$

и его продифференцируем

$$\dot{w}_1 = \dot{\mathcal{C}} = 0.$$

В результате можем сделать вывод, что сигнал (9) может быть произведен генератором (8) при

$$S = 0, \quad H = 1, \quad w(0) = \mathcal{C}.$$

Рассмотрим гармонический сигнал

$$\rho(t) = \mathcal{A} \sin(\omega t + \psi), \quad (10)$$

где  $\mathcal{A}$  — амплитуда,  $\omega$  — частота,  $\psi$  — фазовый сдвиг.

Зададим первое состояние

$$w_1 = \mathcal{A} \sin(\omega t + \psi)$$

и, его продифференцировав, зададим второе состояние

$$\dot{w}_1 = \omega \mathcal{A} \cos(\omega t + \psi) = w_2,$$

дифференцируя которое, получим

$$\dot{w}_2 = -\omega^2 \mathcal{A} \sin(\omega t + \psi) = -\omega^2 w_1.$$

В результате можем сделать вывод, что сигнал (10) может быть произведен генератором (8) при

$$S = \begin{pmatrix} 0 & 1 \\ -\omega^2 & 0 \end{pmatrix}, \quad H = (1 \quad 0), \quad w(0) = \begin{pmatrix} \rho(0) \\ \dot{\rho}(0) \end{pmatrix} = \begin{pmatrix} \mathcal{A} \sin \psi \\ \omega \mathcal{A} \cos \psi \end{pmatrix}.$$

Рассмотрим смещенный синусоидальный сигнал

$$\rho(t) = \mathcal{C} + \mathcal{A} \sin(\omega t + \psi), \quad (11)$$

где  $\mathcal{A}$  — амплитуда,  $\omega$  — частота,  $\psi$  — фазовый сдвиг,  $\mathcal{C}$  — смещение.

Зададим первое состояние

$$w_1 = \mathcal{C}$$

и, его продифференцируем

$$\dot{w}_1 = \dot{\mathcal{C}} = 0.$$

Зададим второе состояние

$$w_2 = \mathcal{A} \sin(\omega t + \psi)$$

и, его продифференцировав, зададим третье состояние

$$\dot{w}_2 = \omega \mathcal{A} \cos(\omega t + \psi) = w_3,$$

дифференцируя которое, получим

$$\dot{w}_3 = -\omega^2 \mathcal{A} \sin(\omega t + \psi) = -\omega^2 w_2.$$

В результате можем сделать вывод, что сигнал (11) может быть произведен генератором (8) при

$$S = \begin{pmatrix} 0 & 0 & 0 \\ 0 & 0 & 1 \\ 0 & -\omega^2 & 0 \end{pmatrix}, \quad H = \begin{pmatrix} 1 & 1 & 0 \end{pmatrix}, \quad w(0) = \begin{pmatrix} \mathcal{C} \\ \rho(0) \\ \dot{\rho}(0) \end{pmatrix} = \begin{pmatrix} \mathcal{C} \\ \mathcal{A} \sin \psi \\ \omega \mathcal{A} \cos \psi \end{pmatrix}.$$



## Мультигармонические сигналы

Аналогичным образом могут быть построены генераторы, производящие мультигармонические сигналы, состоящие из  $\ell$  гармоник

$$\rho(t) = \mathcal{A}_1 \sin(\omega_1 t + \psi_1) + \mathcal{A}_2 \sin(\omega_2 t + \psi_2) + \dots + \mathcal{A}_\ell \sin(\omega_\ell t + \psi_\ell).$$

## Векторные сигналы

С использованием блочно-диагонального представления системы могут быть построены генераторы, производящие векторные сигналы

$$S = \text{diag}(S_1, S_2, \dots, S_n), \quad H = \text{diag}(H_1, H_2, \dots, H_n), \quad \rho(t) = \begin{pmatrix} \rho_1(t) & \rho_2(t) & \dots & \rho_n(t) \end{pmatrix}^T$$

## Нелинейные генераторы

В общем виде генераторы могут рассматриваться в нелинейной виде

$$\dot{w} = s(w).$$

Рассмотрим систему, подверженную влиянию внешних воздействий, в нормальной форме

$$\begin{aligned}\dot{w} &= s(w), \\ \dot{z} &= f_0(w, z, \xi), \\ \dot{\xi} &= A\xi + B[q(w, z, \xi) + b(w, z, \xi)u], \\ y &= C\xi,\end{aligned}\tag{12}$$

при

$$A = \begin{pmatrix} 0 & 1 & 0 & \dots & 0 \\ 0 & 0 & 1 & \dots & 0 \\ \vdots & & & & \\ 0 & 0 & 0 & \dots & 1 \\ 0 & 0 & 0 & \dots & 0 \end{pmatrix}, \quad B = \begin{pmatrix} 0 \\ 0 \\ \vdots \\ 0 \\ 1 \end{pmatrix}, \quad C = (1 \quad 0 \quad \dots \quad 0 \quad 0).$$

Сосредоточимся на классе линейных генераторов, для которого справедливо  $\dot{w} = s(w) = Sw$ .

Рассмотрим выражения

$$\frac{\partial \pi}{\partial w} s(w) = f(w, \pi(w), \psi(w)), \quad h_e(w, \pi(w)) = 0.$$

Исходя из (12), зададим

$$\begin{aligned} \pi(w) &= 0, \\ \psi(w) &= -b^{-1}q(w, 0, 0) := \bar{\Psi}w. \end{aligned}$$

Для компенсации внешних воздействий добавим в систему внутреннюю модель вида

$$\begin{aligned} \dot{\eta} &= F\eta + G[\Gamma\eta + \bar{u}], \\ u &= \Gamma\eta + \bar{u}, \end{aligned} \tag{13}$$

где  $\bar{u}$  — закон управления, который будет определен позднее,  $F \in \mathbb{R}^{n_w \times n_w}$  — гурвицева матрица во фробениусовой форме, векторы  $G = (0 \ 0 \ \dots \ 0 \ 1)^T \in \mathbb{R}^{n_w}$  и  $\Gamma \in \mathbb{R}^{1 \times n_w}$  такие, что пара  $(F, G)$  является управляемой и выполняется условие

$$\lambda_i\{F + G\Gamma\} = \lambda_i\{S\}.$$

Известно, что существует матрица  $\Sigma$  такая, что

$$\begin{aligned} \Sigma S &= (F + G\Gamma)\Sigma, \\ \bar{\Psi} &= \Gamma\Sigma. \end{aligned}$$

Поскольку матрица  $\Phi = F + G\Gamma$  характеризуется чисто мнимыми собственными числами, то ее характеристический полином имеет вид

$$\begin{aligned}\phi(s) &= s(s^2 + \omega_1^2)(s^2 + \omega_2^2) \dots (s^2 + \omega_l^2) \\ &= s^{2l+1} + \theta_1 s^{2l-1} + \dots + \theta_l s,\end{aligned}$$

где  $\omega_k$  ( $k = \overline{1, l}$ ) представляют собой частоты  $l$  гармоник, а  $\theta_k$  являются параметрами, связанными с  $\omega_k$  с помощью формулы Виета

$$\begin{aligned}\theta_1 &= \omega_1^2 + \omega_2^2 + \dots + \omega_l^2, \\ \theta_2 &= \omega_1^2 \omega_2^2 + \omega_1^2 \omega_3^2 + \dots + \omega_{l-1}^2 \omega_l^2, \\ &\vdots \\ \theta_l &= \omega_1^2 \omega_2^2 \dots \omega_l^2.\end{aligned}$$

Тогда матрицы  $\Phi$  и  $F$  могут рассматриваться как

$$\Phi = \begin{pmatrix} 0 & 1 & 0 & 0 & \cdots & 0 & 0 \\ 0 & 0 & 1 & 0 & \cdots & 0 & 0 \\ \vdots & & & & & & \\ 0 & 0 & 0 & 0 & \cdots & 0 & 1 \\ 0 & -\theta_l & 0 & -\theta_{l-1} & \cdots & -\theta_1 & 0 \end{pmatrix}, F = \begin{pmatrix} 0 & 1 & 0 & \cdots & 0 & 0 \\ 0 & 0 & 1 & \cdots & 0 & 0 \\ \vdots & & & & & \\ 0 & 0 & 0 & \cdots & 0 & 1 \\ -f_0 & -f_1 & -f_2 & \cdots & -f_{2l-1} & -f_{2l} \end{pmatrix},$$

$$\Gamma = (\gamma_0 \quad \gamma_1 \quad \gamma_2 \quad \cdots \quad \gamma_{2l-1} \quad \gamma_{2l}).$$

откуда можем вычислить составляющие вектора  $\Gamma$  как

$$\gamma_0 = f_0,$$

$$\gamma_1 = f_1 - \theta_l,$$

$$\gamma_2 = f_2,$$

$$\vdots$$

$$\gamma_{2l-2} = f_{2l-2},$$

$$\gamma_{2l-1} = f_{2l-1} - \theta_1,$$

$$\gamma_{2l} = f_{2l}.$$

Добавляя внутреннюю модель, получим агрегированную систему

$$\begin{aligned}
 \dot{z} &= f_0(w, z, \xi), \\
 \dot{\eta} &= F\eta + G[\Gamma\eta + \bar{u}], \\
 \dot{\xi} &= A\xi + B[q(w, z, \xi) + b(w, z, \xi)[\Gamma\eta + \bar{u}]], \\
 y &= C\xi,
 \end{aligned} \tag{14}$$

В качестве предварительного этапа синтеза управления  $\bar{u}$ , введем новую переменную

$$\tilde{\eta} = \eta - \Sigma w,$$

дифференцируя которую, получим

$$\begin{aligned}
 \dot{\tilde{\eta}} &= F\eta + G[\Gamma\eta + \bar{u}] - \Sigma S w \\
 &= (F + G\Gamma)\eta + G\bar{u} - (F + G\Gamma)\Sigma w \\
 &= F\tilde{\eta} + G(\Gamma\tilde{\eta} + \bar{u})
 \end{aligned}$$

и

$$\begin{aligned}
 \dot{\xi} &= A\xi + B[q(w, z, \xi) + b(w, z, \xi)[\Gamma\tilde{\eta} + \bar{\Psi}w + \bar{u}]] \\
 &= A\xi + B[\tilde{q}(w, z, \xi) + b(w, z, \xi)[\Gamma\tilde{\eta} + \bar{u}]]
 \end{aligned}$$

где  $\tilde{q}(w, z, \xi) = q(w, z, \xi) + b(w, z, \xi)\bar{\Psi}w$  равно нулю при  $(z, \xi) = (0, 0)$  по построению  $\bar{\Psi}$ .

В итоге система (14) примет вид

$$\begin{aligned}\dot{z} &= f_0(w, z, \xi), \\ \dot{\tilde{\eta}} &= F\tilde{\eta} + G[\Gamma\tilde{\eta} + \bar{u}], \\ \dot{\xi} &= A\xi + B[\tilde{q}(w, z, \xi) + b(w, z, \xi)[\Gamma\tilde{\eta} + \bar{u}]], \\ y &= C\xi,\end{aligned}\tag{15}$$

При выборе закона управления  $\bar{u}$  как

$$\bar{u} = -\Gamma\tilde{\eta} + b^{-1}(w, z, \xi)[- \tilde{q}(w, z, \xi) + K\xi],\tag{16}$$

получим замкнутую систему

$$\begin{aligned}\dot{z} &= f_0(w, z, \xi), \\ \dot{\tilde{\eta}} &= F\tilde{\eta} + Gb^{-1}[- \tilde{q}(w, z, \xi) + K\xi], \\ \dot{\xi} &= (A + BK)\xi, \\ y &= C\xi,\end{aligned}$$

которая при соответствующем выборе  $K$  является глобально асимптотически устойчивой.

Выберем робастный закон управления

$$\bar{u} = \text{sat}_N[\bar{b}^{-1}(-\sigma + K\hat{\xi})], \quad (17)$$

где  $\text{sat}_N(\cdot)$  — гладкая функция насыщения с пределом  $N$ ,  $\bar{b}$  — ненулевой параметр, удовлетворяющий условию

$$|[b(z, \xi) - \bar{b}]\bar{b}^{-1}| \leq \delta < 1,$$

$\hat{\xi}$  и  $\sigma$  — являются состоянием расширенного наблюдателя вида

$$\begin{aligned} \dot{\hat{\xi}}_1 &= \hat{\xi}_2 + \kappa a_r(y - \hat{\xi}_1), \\ \dot{\hat{\xi}}_2 &= \hat{\xi}_3 + \kappa^2 a_{r-1}(y - \hat{\xi}_1), \\ &\vdots \\ \dot{\hat{\xi}}_{r-1} &= \hat{\xi}_r + \kappa^{r-1} a_2(y - \hat{\xi}_1), \\ \dot{\hat{\xi}}_r &= \sigma + \bar{b}\bar{u} + \kappa^r a_1(y - \hat{\xi}_1), \\ \dot{\sigma} &= \kappa^{r+1} a_0(y - \hat{\xi}_1), \end{aligned} \quad (18)$$

где  $\kappa$  и  $a_0, a_1, \dots, a_{r-1}$  — настроечные параметры.



## Приложение 1. Управление манипуляционным роботом

Рассмотрим динамическую модель  $n$ -звенного робота

$$M(q)\ddot{q} + C(q, \dot{q})\dot{q} + F\dot{q} + G(q) = u, \quad (19)$$

где  $q \in \mathbb{R}^n$ ,  $\dot{q} \in \mathbb{R}^n$ ,  $\ddot{q} \in \mathbb{R}^n$  — векторы обобщенных координат, скоростей и ускорений, соответственно,  $u \in \mathbb{R}^n$  — вектор управляющих воздействий,  $M(q) \in \mathbb{R}^{n \times n}$  — матрица инерции,  $C(q, \dot{q}) \in \mathbb{R}^{n \times n}$  — матрица кориолисовых и центробежных сил,  $F \in \mathbb{R}^{n \times n}$  — матрица демпфирования (вязкого трения),  $G(q) \in \mathbb{R}^n$  — вектор гравитационных сил.

### Цель

Целью является синтез регулятора по выходу, обеспечивающего для любого сколь угодно малого  $\epsilon > 0$  выполнение соотношения

$$\lim_{t \rightarrow \infty} |q_e(t)| \leq \epsilon, \quad (20)$$

где  $q_e(t) = q(t) - q_{\text{ref}}(t)$  — сигнал ошибки,  $q_{\text{ref}}(t) \in \mathbb{R}^n$  — ограниченный задающий сигнал, характеризующийся ограниченными  $\dot{q}_{\text{ref}}(t)$  и  $\ddot{q}_{\text{ref}}(t)$ .

Без потери общности рассмотрим 2-звенный плоский манипуляционный робот. Матрицы  $M(q)$ ,  $C(q, \dot{q})$ ,  $F$  и  $G(q)$  примут вид

$$M(q) = \begin{bmatrix} \rho_1 + \rho_2 + 2\rho_3 c_2 + \rho_4 & \rho_2 + \rho_3 c_2 \\ \rho_2 + \rho_3 c_2 & \rho_2 + \rho_5 \end{bmatrix}, \quad C(q, \dot{q}) = \begin{bmatrix} -\rho_3 s_2 \dot{q}_2 & -\rho_3 s_2 (\dot{q}_1 + \dot{q}_2) \\ \rho_3 s_2 \dot{q}_1 & 0 \end{bmatrix},$$

$$F = \begin{bmatrix} \rho_9 & 0 \\ 0 & \rho_{10} \end{bmatrix}, \quad G(q) = \begin{bmatrix} \rho_6 c_1 + \rho_7 c_{12} \\ \rho_8 c_{12} \end{bmatrix},$$

при

$$\begin{aligned} \rho_1 &= m_1 \ell_{c1}^2 + m_2 \ell_1^2 + 2m_2 \ell_1 \ell_{c2}^2 + I_1, & \rho_6 &= (m_1 \ell_{c1} + m_2 \ell_1)g, \\ \rho_2 &= m_2 \ell_{c2}^2 + I_2, & \rho_7 &= m_2 \ell_{c2}g, \\ \rho_3 &= m_2 \ell_1 \ell_{c2}, & \rho_8 &= m_2 \ell_{c2}, \\ \rho_4 &= r_1^2 J_1, & \rho_9 &= r_1^2 F_1, \\ \rho_5 &= r_2^2 J_2, & \rho_{10} &= r_2^2 F_2, \end{aligned}$$

где  $m_1, m_2$  — массы звеньев,  $\ell_1, \ell_2$  длины звеньев,  $\ell_{c1}, \ell_{c2}$  — расстояния от точек начала отсчета систем координат, связанных со звеньями, до центров масс звеньев,  $g = 9.81 \text{ м/с}^2$ ,  $I_1, I_2$  — моменты инерции звеньев,  $J_1, J_2$  — моменты инерции приводов,  $F_1, F_2$  — постоянные трения,  $r_1, r_2$  — передаточные числа.

Динамическая модель манипуляционного робота с электромеханическими приводами имеет вид

$$M(q)\ddot{q} + C(q, \dot{q})\dot{q} + F\dot{q} + G(q) = u, \quad (21)$$

где вектор управляющих воздействий  $u$  может быть выражен как

$$\begin{aligned} u &= \begin{bmatrix} r_1 & 0 \\ 0 & r_2 \end{bmatrix} \tau, & \text{при управлении по моменту сил } \tau \\ u &= \begin{bmatrix} r_1 K_{\tau,1} & 0 \\ 0 & r_2 K_{\tau,2} \end{bmatrix} i, & \text{при управлении по силе тока } i \\ u &= \begin{bmatrix} \frac{r_1 K_{\tau,1}}{R_1} & 0 \\ 0 & \frac{r_2 K_{\tau,2}}{R_2} \end{bmatrix} V, & \text{при управлении по напряжению } V \end{aligned} \quad (22)$$

Рассмотрим следующие задающие сигналы

$$q_{\text{ref}}(t) = \begin{bmatrix} q_{\text{ref},1}(t) \\ q_{\text{ref},2}(t) \end{bmatrix} = \begin{bmatrix} C_{\text{ref},1} + A_{\text{ref},1} \sin(\omega_{\text{ref},1}t + \psi_{\text{ref},1}) \\ C_{\text{ref},2} + A_{\text{ref},2} \sin(\omega_{\text{ref},2}t + \psi_{\text{ref},2}) \end{bmatrix}, \quad (23)$$

которые могут быть произведены генератором вида

$$\begin{aligned} \dot{w}_{\text{ref}} &= S_{\text{ref}} w_{\text{ref}}, \\ q_{\text{ref}} &= H_{\text{ref}}^p w_{\text{ref}} \\ \dot{q}_{\text{ref}} &= H_{\text{ref}}^v w_{\text{ref}} \\ \ddot{q}_{\text{ref}} &= H_{\text{ref}}^a w_{\text{ref}}, \end{aligned} \quad w_{\text{ref}}(0) = \begin{bmatrix} C_{\text{ref},1} \\ A_{\text{ref},1} \sin \psi_{\text{ref},1} \\ \omega_{\text{ref},1} A_{\text{ref},1} \cos \psi_{\text{ref},1} \\ C_{\text{ref},2} \\ A_{\text{ref},2} \sin \psi_{\text{ref},2} \\ \omega_{\text{ref},2} A_{\text{ref},2} \cos \psi_{\text{ref},2} \end{bmatrix}.$$

где

$$\begin{aligned} S_{\text{ref}} &= \begin{bmatrix} S_{\text{ref},1} & 0 \\ 0 & S_{\text{ref},2} \end{bmatrix}, & S_{\text{ref},1} &= \begin{bmatrix} 0 & 0 & 0 \\ 0 & 0 & 1 \\ 0 & -\omega_{\text{ref},1}^2 & 0 \end{bmatrix}, & S_{\text{ref},2} &= \begin{bmatrix} 0 & 0 & 0 \\ 0 & 0 & 1 \\ 0 & -\omega_{\text{ref},2}^2 & 0 \end{bmatrix}, \\ H_{\text{ref}}^p &= \begin{bmatrix} H_{\text{ref},1}^p & 0 \\ 0 & H_{\text{ref},2}^p \end{bmatrix}, & H_{\text{ref},1}^p &= \begin{bmatrix} 1 & 1 & 0 \end{bmatrix}, & H_{\text{ref},2}^p &= \begin{bmatrix} 1 & 1 & 0 \end{bmatrix}, \\ H_{\text{ref}}^v &= \begin{bmatrix} H_{\text{ref},1}^v & 0 \\ 0 & H_{\text{ref},2}^v \end{bmatrix}, & H_{\text{ref},1}^v &= \begin{bmatrix} 0 & 0 & 1 \end{bmatrix}, & H_{\text{ref},2}^v &= \begin{bmatrix} 0 & 0 & 1 \end{bmatrix}, \\ H_{\text{ref}}^a &= \begin{bmatrix} H_{\text{ref},1}^a & 0 \\ 0 & H_{\text{ref},2}^a \end{bmatrix}, & H_{\text{ref},1}^a &= \begin{bmatrix} 0 & -\omega_{\text{ref},1}^2 & 0 \end{bmatrix}, & H_{\text{ref},2}^a &= \begin{bmatrix} 0 & -\omega_{\text{ref},2}^2 & 0 \end{bmatrix}. \end{aligned}$$

Следуя <sup>1</sup>, введем новые переменные

$$\xi_1 = q,$$

$$\xi_2 = \dot{q},$$

и, дифференцируя которые, преобразуем модель (29) к нормальной форме

$$\dot{\xi}_1 = \xi_2,$$

$$\dot{\xi}_2 = M^{-1}(\xi_1)[-C(\xi_1, \xi_2)\xi_2 - F\xi_2 - G(\xi_1)] + M^{-1}(\xi_1)u.$$

---

<sup>1</sup>Jose Antonio Heredia and Wen Yu. A high-gain observer-based pd manipulator control for robot. In Proc. of the proceedings of the American control conference, pages 2218–522, 2000.

Выберем закон управления

$$u = M(q) \left( \ddot{q}_{\text{ref}} - K_p q_e - K_d (\hat{\dot{q}} - \dot{q}_{\text{ref}}) \right) + C(q, \hat{\dot{q}}) \hat{\dot{q}} + F \hat{\dot{q}} + G(q), \quad (24)$$

где  $K_p = \text{diag}(k_{p1}, k_{p2})$  и  $K_d = \text{diag}(k_{d1}, k_{d2})$  — положительно определенные матрицы пропорциональной и дифференциальной составляющих, соответственно,  $\hat{\dot{q}} = \dot{\hat{\xi}}_1$  — оценка неизмеримых обобщенных скоростей, полученная с помощью расширенного наблюдателя

$$\begin{aligned} \dot{\hat{\xi}}_1 &= \hat{\xi}_2 + \kappa A_2 (\xi_1 - \hat{\xi}_1), \\ \dot{\hat{\xi}}_2 &= \kappa^2 A_1 (\xi_1 - \hat{\xi}_1), \\ \hat{\dot{q}} &= \dot{\hat{\xi}}_1, \end{aligned} \quad (25)$$

где  $\kappa > 0$  — достаточно большое число,  $A_2$  и  $A_1$  — положительно определенные матрицы такие, что матрица

$$A = \begin{bmatrix} -A_2 & I \\ -A_1 & 0 \end{bmatrix}$$

является гурвицевой, т.е.  $\text{Re} \lambda_i \{A\} < 0$ .

Введем новые переменные

$$\xi_1 = q - q_{\text{ref}},$$

$$\xi_2 = \dot{q} - \dot{q}_{\text{ref}},$$

и, дифференцируя которые, преобразуем модель (29) к нормальной форме

$$\dot{\xi}_1 = \xi_2,$$

$$\dot{\xi}_2 = f(\xi, q_{\text{ref}}, \dot{q}_{\text{ref}}, \ddot{q}_{\text{ref}}) + M^{-1}(\xi_1 + q_{\text{ref}})u,$$

где  $f(\xi, q_{\text{ref}}, \dot{q}_{\text{ref}}, \ddot{q}_{\text{ref}}) =$

$$M^{-1}(\xi_1 + q_{\text{ref}})[-C(\xi_1 + q_{\text{ref}}, \xi_2 + \dot{q}_{\text{ref}})\xi_2 - F(\xi_2 + \dot{q}_{\text{ref}}) - G(\xi_1 + q_{\text{ref}})] - \ddot{q}_{\text{ref}}.$$



Следуя <sup>2</sup> выберем робастный закон управления

$$u = \bar{u} = \text{sat}_N M_0 [-\sigma - K \hat{\xi}] \quad (26)$$

где  $N > 0$  — предел насыщения,  $K = [K_1 \quad K_2]$ ,  $K_1 = \text{diag}(k_{11}, k_{12})$ ,  $K_2 = \text{diag}(k_{21}, k_{22})$   $M_0$  — обратимая матрица, удовлетворяющая условию

$$\| [M^{-1}(\xi) - M_0^{-1}] M_0 \|_1 \leq \delta < 1 \quad (27)$$

$\hat{\xi}$  и  $\sigma$  — состояния расширенного наблюдателя вида

$$\begin{aligned} \dot{\hat{\xi}}_1 &= \hat{\xi}_2 + \kappa A_2 (q - \hat{\xi}_1), \\ \dot{\hat{\xi}}_2 &= \sigma + M_0^{-1} \bar{u} + \kappa^2 A_1 (q - \hat{\xi}_1), \\ \dot{\sigma} &= \kappa^3 A_0 (q - \hat{\xi}_1), \end{aligned} \quad (28)$$

где  $\kappa > 0$  — достаточно большое число,  $A_2$ ,  $A_1$  и  $A_0$  — положительно определенные матрицы такие, что матрица

$$A = \begin{bmatrix} -A_2 & I & 0 \\ -A_1 & 0 & I \\ -A_0 & 0 & 0 \end{bmatrix}$$

является гурвицевой, т.е.  $\text{Re} \lambda_i \{A\} < 0$ .

---

<sup>2</sup>Freidovich, L. and Khalil, H. (2008). Performance recovery of feedback-linearization-based designs. IEEE Transactions on Automatic Control, 53(10), 2324-2334.

Рассмотрим динамическую модель манипуляционного робота, подверженного влиянию внешних возмущений

$$M(q)\ddot{q} + C(q, \dot{q})\dot{q} + F\dot{q} + G(q) = u + \tau_{\text{dist}}, \quad (29)$$

где  $\tau_{\text{dist}} \in \mathbb{R}^{n_{\text{dist}}}$  — вектор внешних моментов сил, обусловленных нагрузкой, приложенной к звеньям робота.

Рассмотрим следующие возмущающие сигналы

$$\tau_{\text{dist}}(t) = \begin{bmatrix} \tau_{\text{dist},1}(t) \\ \tau_{\text{dist},2}(t) \end{bmatrix} = \begin{bmatrix} C_{\text{dist},1} + A_{\text{dist},1} \sin(\omega_{\text{dist},1}t + \psi_{\text{dist},1}) \\ C_{\text{dist},2} + A_{\text{dist},2} \sin(\omega_{\text{dist},2}t + \psi_{\text{dist},2}) \end{bmatrix}, \quad (30)$$

которые могут быть произведены генератором вида

$$\begin{aligned} \dot{w}_{\text{dist}} &= S_{\text{dist}} w_{\text{dist}}, \\ \tau_{\text{dist}} &= H_{\text{dist}} w_{\text{dist}}, \end{aligned} \quad w_{\text{dist}}(0) = \begin{bmatrix} C_{\text{dist},1} \\ A_{\text{dist},1} \sin \psi_{\text{dist},1} \\ \omega_{\text{dist},1} A_{\text{dist},1} \cos \psi_{\text{dist},1} \\ C_{\text{dist},2} \\ A_{\text{dist},2} \sin \psi_{\text{dist},2} \\ \omega_{\text{dist},2} A_{\text{dist},2} \cos \psi_{\text{dist},2} \end{bmatrix}.$$

где

$$\begin{aligned} S_{\text{dist}} &= \begin{bmatrix} S_{\text{dist},1} & 0 \\ 0 & S_{\text{dist},2} \end{bmatrix}, \quad S_{\text{dist},1} = \begin{bmatrix} 0 & 0 & 0 \\ 0 & 0 & 1 \\ 0 & -\omega_{\text{dist},1}^2 & 0 \end{bmatrix}, \quad S_{\text{dist},2} = \begin{bmatrix} 0 & 0 & 0 \\ 0 & 0 & 1 \\ 0 & -\omega_{\text{dist},2}^2 & 0 \end{bmatrix}, \\ H_{\text{dist}} &= \begin{bmatrix} H_{\text{dist},1} & 0 \\ 0 & H_{\text{dist},2} \end{bmatrix}, \quad H_{\text{dist},1} = \begin{bmatrix} 1 & 1 & 0 \end{bmatrix}, \quad H_{\text{dist},2} = \begin{bmatrix} 1 & 1 & 0 \end{bmatrix}. \end{aligned}$$

Для компенсации внешних воздействий добавим в систему внутреннюю модель вида

$$\begin{aligned}\dot{\eta} &= F\eta + G[\Gamma\eta + \bar{u}], \\ u &= \Gamma\eta + \bar{u},\end{aligned}\tag{31}$$

где  $F = \text{diag}\{F_1, F_2\}$ ,  $G = \text{diag}\{G_1, G_2\}$ ,  $\Gamma = \text{diag}\{\Gamma_1, \Gamma_2\}$ ,  $F_i \in \mathbb{R}^{n_{\text{dist}} \times n_{\text{dist}}}$  — гурвицева матрица во фробениусовой форме, векторы  $G_i = [0 \ 0 \ \dots \ 0 \ 1]^T \in \mathbb{R}^{n_{\text{dist}}}$  и  $\Gamma \in \mathbb{R}^{1 \times n_{\text{dist}}}$  такие, что пара  $(F_i, G_i)$  является управляемой и выполняется условие

$$\lambda_k\{F_i + G_i\Gamma_i\} = \lambda_k\{S_{\text{dist},i}\}.$$

## Приложение 2. Управление квадрокоптером

Рассмотрим модель квадрокоптера<sup>3</sup>

$$\begin{aligned}
 \ddot{x} &= \frac{1}{m} \left( \sum_{i=1}^4 F_i \right) [c_\phi s_\theta c_\psi + s_\phi s_\psi], \\
 \ddot{y} &= \frac{1}{m} \left( \sum_{i=1}^4 F_i \right) [s_\phi s_\theta c_\psi - c_\phi s_\psi], \\
 \ddot{z} &= \frac{1}{m} \left( \sum_{i=1}^4 F_i \right) c_\theta c_\psi - g, \\
 \ddot{\theta} &= \frac{\ell}{J_\theta} [-F_1 - F_2 + F_3 + F_4], \\
 \ddot{\psi} &= \frac{\ell}{J_\psi} [-F_1 + F_2 + F_3 - F_4], \\
 \ddot{\phi} &= \frac{C}{J_\phi} [F_1 - F_2 + F_3 - F_4],
 \end{aligned} \tag{32}$$

где  $x, y, z$  — декартовы координаты центра масс,  $\theta, \psi, \phi$  — углы Эйлера, характеризующие положение квадрокоптера,  $F_i, i = \{1, 2, 3, 4\}$  — значения подъемной силы каждого привода,  $m$  — масса,  $g = 9.81 \text{ m/s}^2$  — ускорение свободного падения,  $J_\theta, J_\psi, J_\phi$  — моменты инерции,  $\ell$  — расстояние между центром масс и исполнительными приводами,  $C$  — масштабирующий коэффициент между силой и моментом силы,  $s_{(\cdot)} \equiv \sin(\cdot)$ ,  $c_{(\cdot)} \equiv \cos(\cdot)$ . Задача заключается в синтезе управления для  $F_i$ , обеспечивающего сходимость  $x, y, z$  и  $\theta, \psi, \phi$  к нулю.

---

<sup>3</sup>Altug, E., Ostrowski, J., and Taylor, C. (2005). Control of a quadrotor helicopter using dual camera visual feedback. *International Journal of Robotics Research*, 24(5), 329-341.

Выберем новые управляющие воздействия

$$\begin{aligned}u'_0 &= \frac{1}{m} \left( \sum_{i=1}^4 F_i \right) := (g + u_0), \\u_1 &= \frac{\ell}{J_\theta} [-F_1 - F_2 + F_3 + F_4], \\u_2 &= \frac{\ell}{J_\psi} [-F_1 + F_2 + F_3 - F_4], \\u_3 &= \frac{C}{J_\phi} [F_1 - F_2 + F_3 - F_4]\end{aligned}$$

и перепишем модель (32) как

$$\begin{aligned}\ddot{x} &= (g + u_0)[c_\phi s_\theta c_\psi + s_\phi s_\psi], \\ \ddot{y} &= (g + u_0)[s_\phi s_\theta c_\psi - c_\phi s_\psi], \\ \ddot{z} &= (g + u_0)c_\theta c_\psi - g, \\ \ddot{\theta} &= u_1, \\ \ddot{\psi} &= u_2, \\ \ddot{\phi} &= u_3.\end{aligned}\tag{33}$$

Поскольку модель декомпозирована, угол рыскания  $\phi$  может быть застabilизирован независимо с помощью закона управления  $u_3$ . Примем допущение, что эта задача выполнена (например, с помощью обыкновенного ПД регулятора), тогда модель (33) при  $\phi = \dot{\phi} = \ddot{\phi} = 0$  примет вид

$$\begin{aligned}\ddot{x} &= (g + u_0)s_{\theta}c_{\psi}, \\ \ddot{y} &= -(g + u_0)s_{\psi}, \\ \ddot{z} &= (g + u_0)c_{\theta}c_{\psi} - g, \\ \ddot{\theta} &= u_1, \\ \ddot{\psi} &= u_2.\end{aligned}\tag{34}$$

Перейдем к ругелированию декартовых координат  $(x, y, z)$  через углы тангажа и крена  $(\theta, \psi)$ , которые принимаются неизмеримыми.



Выберем  $u_0$  для стабилизации координаты  $z$  как

$$u_0 = \text{sat}_L(-r_0 z - r_1 \dot{z}) \quad (35)$$

при  $L = \alpha g$  и  $\alpha < 1$ .

Несложно показать при соответствующем выборе параметров  $r_0, r_1$  итоговая динамика движения по вертикали

$$\begin{aligned} \dot{z}_1 &= z_2 \\ \dot{z}_2 &= (g + \text{sat}_{\alpha g}(-r_0 z_1 - r_1 z_2)) c_\theta c_\psi - g \end{aligned}$$

при  $z_1 = z$ , которая может рассматриваться как система с входом  $(\theta, \psi)$  и состоянием  $(z_1, z_2)$ , устойчива по состоянию при выполнении условия  $|c_\theta c_\psi| \geq 1/(1 + \alpha)$ .

Выберем новые переменные  $\xi_i = (\xi_{i1}, \xi_{i2}, \xi_{i3}, \xi_{i4})$  как

$$\begin{aligned}\xi_{11} &= x, & \xi_{21} &= y, \\ \xi_{12} &= \dot{x}, & \xi_{22} &= \dot{y}, \\ \xi_{13} &= g s_{\theta} c_{\psi}, & \xi_{23} &= -g s_{\psi}, \\ \xi_{14} &= g c_{\theta} c_{\psi} \dot{\theta} - g s_{\theta} s_{\psi} \dot{\psi}, & \xi_{24} &= -g c_{\psi} \dot{\psi}.\end{aligned}$$

При  $|\theta| < \pi/2$  и  $|\psi| < \pi/2$  эта замена координат справедлива, поскольку преобразование

$$\begin{pmatrix} \theta \\ \psi \end{pmatrix} \mapsto \begin{pmatrix} \xi_{13} \\ \xi_{23} \end{pmatrix} = \begin{pmatrix} g s_{\theta} c_{\psi} \\ -g s_{\psi} \end{pmatrix}$$

обратимо также, как и

$$\begin{pmatrix} \dot{\theta} \\ \dot{\psi} \end{pmatrix} \mapsto \begin{pmatrix} \xi_{14} \\ \xi_{24} \end{pmatrix} = \begin{pmatrix} g c_{\theta} c_{\psi} & -g s_{\theta} s_{\psi} \\ 0 & -g c_{\psi} \end{pmatrix} \begin{pmatrix} \dot{\theta} \\ \dot{\psi} \end{pmatrix}.$$

В новых координатах система имеет вид

$$\begin{aligned}\dot{\xi}_{11} &= \xi_{12}, & \dot{\xi}_{21} &= \xi_{22}, \\ \dot{\xi}_{12} &= \beta(t)\xi_{13}, & \dot{\xi}_{22} &= \beta(t)\xi_{23}, \\ \dot{\xi}_{13} &= \xi_{14}, & \dot{\xi}_{23} &= \xi_{24}, \\ \dot{\xi}_{14} &= q_1(\theta, \dot{\theta}, \psi, \dot{\psi}) + (gc_{\theta}c_{\psi} \ -gs_{\theta}s_{\psi})\begin{pmatrix} u_1 \\ u_2 \end{pmatrix}, & \dot{\xi}_{24} &= q_2(\psi, \dot{\psi}) + (0 \ -gc_{\psi})\begin{pmatrix} u_1 \\ u_2 \end{pmatrix},\end{aligned}$$

где  $q_1(\theta, \dot{\theta}, \psi, \dot{\psi})$  и  $q_2(\psi, \dot{\psi})$  — некоторые функции, и

$$\beta(t) = \left(1 + \frac{u_0(t)}{g}\right) \quad (36)$$

удовлетворяет

$$0 < \beta_{min} \leq \beta(t) \leq \beta_{max} \quad (37)$$

в силу выбора  $\alpha < 1$  в ПД-регуляторе (35).

Таким образом, динамика  $(\xi_1, \xi_2)$  может быть линеаризована по обратной связи. Номинальный закон управления  $(u_1, u_2)$  обеспечивает

$$\begin{aligned}\dot{\xi}_{14} &= -k_1\xi_{11} - k_2\xi_{12} - k_3\xi_{13} - k_4\xi_{14} := K\xi_1, \\ \dot{\xi}_{24} &= -k_1\xi_{21} - k_2\xi_{22} - k_3\xi_{23} - k_4\xi_{24} := K\xi_2\end{aligned}$$

и соответственно определен как

$$\begin{pmatrix} u_1 \\ u_2 \end{pmatrix} = B^{-1}(\theta, \psi) \begin{pmatrix} -q_1(\theta, \dot{\theta}, \psi, \dot{\psi}) + K\xi_1 \\ -q_2(\psi, \dot{\psi}) + K\xi_2 \end{pmatrix}, \quad (38)$$

где  $B(\theta, \psi)$  задана как

$$B(\theta, \psi) = \begin{pmatrix} b_{11}(\theta, \psi) & b_{12}(\theta, \psi) \\ 0 & b_{22}(\theta, \psi) \end{pmatrix} = \begin{pmatrix} gc_\theta c_\psi & -gs_\theta s_\psi \\ 0 & -gc_\psi \end{pmatrix}.$$

Применяя закон управления (38) к систем, получим две идентичные системы вида

$$\dot{\xi}_{i1} = \xi_{i2},$$

$$\dot{\xi}_{i2} = \beta(t)\xi_{i3},$$

$$\dot{\xi}_{i3} = \xi_{i4},$$

$$\dot{\xi}_{i4} = -k_1\xi_{i1} - k_2\xi_{i2} - k_3\xi_{i3} - k_4\xi_{i4} := K\xi_i.$$

Поскольку функция  $\beta(t)$  ограничена положительными числами снизу и сверху (см. (37)), возможно выбрать  $K$ , матрицу  $P = P^T > 0$  и число  $\lambda$ , зависимые только от границ  $\beta_{min}, \beta_{max}$ , такие, что производная  $V(\xi_i) = \xi_i^T P \xi_i$  вдоль траекторий системы ограничена как

$$\dot{V}(\xi_i) \leq -\lambda|\xi_i|^2$$

и, следовательно,  $\xi_i(t)$  экспоненциально сходится к нулю 0. Доказательство существования  $K$  может быть получено тривиальным образом аналогично доказательству «стандартной версии» леммы Даяванца.

Следуя подходу, предложенному в<sup>4</sup> и расширенному в<sup>5</sup>, зададим управляющие сигналы как

$$u = \begin{pmatrix} u_1 \\ u_2 \end{pmatrix} = \begin{pmatrix} \text{sat}_N(\hat{u}_1) \\ \text{sat}_N(\hat{u}_2) \end{pmatrix}, \quad \begin{pmatrix} \hat{u}_1 \\ \hat{u}_2 \end{pmatrix} = \bar{B}^{-1} \begin{pmatrix} K\hat{\xi}_1 - \sigma_1 \\ K\hat{\xi}_2 - \sigma_2 \end{pmatrix}, \quad (39)$$

где  $N$  — настроечный параметр,  $\bar{B}$  — несингулярная матрица, выбранная таким образом, что

$$\| [B(\theta, \psi) - \bar{B}] \bar{B}^{-1} \|_1 \leq \delta < 1, \quad (40)$$

и где  $\hat{\xi}_i = (\hat{\xi}_{i1}, \hat{\xi}_{i2}, \hat{\xi}_{i3}, \hat{\xi}_{i4})$  и  $\sigma_i$  для  $i = 1, 2$  — состояния пары «усовершенствованных» расширенных наблюдателей, заданных выражениями

$$\begin{aligned} \dot{\hat{\xi}}_{11} &= \hat{\xi}_{12} + \kappa a_4(x - \hat{\xi}_{11}), & \dot{\hat{\xi}}_{21} &= \hat{\xi}_{22} + \kappa a_4(y - \hat{\xi}_{21}), \\ \dot{\hat{\xi}}_{12} &= \beta(t)\hat{\xi}_{13} + \kappa^2 a_3(x - \hat{\xi}_{11}), & \dot{\hat{\xi}}_{22} &= \beta(t)\hat{\xi}_{23} + \kappa^2 a_3(y - \hat{\xi}_{21}), \\ \dot{\hat{\xi}}_{13} &= \hat{\xi}_{14} + \kappa^3 a_2(x - \hat{\xi}_{11}), & \dot{\hat{\xi}}_{23} &= \hat{\xi}_{24} + \kappa^3 a_2(y - \hat{\xi}_{21}), \\ \dot{\hat{\xi}}_{14} &= \sigma_1 + \bar{b}_1 u + \kappa^4 a_1(x - \hat{\xi}_{11}), & \dot{\hat{\xi}}_{24} &= \sigma_2 + \bar{b}_2 u + \kappa^4 a_1(y - \hat{\xi}_{21}), \\ \dot{\sigma}_1 &= \kappa^5 a_0(x - \hat{\xi}_{11}), & \dot{\sigma}_2 &= \kappa^5 a_0(y - \hat{\xi}_{21}), \end{aligned} \quad (41)$$

где с помощью  $\bar{b}_1, \bar{b}_2$  обозначены две строки матрицы  $\bar{B}$ .

<sup>4</sup>Freidovich, L. and Khalil, H. (2008). Performance recovery of feedback-linearization-based designs. IEEE Transactions on Automatic Control, 53(10), 2324-2334.

<sup>5</sup>Isidori, A., Pyrkin, A., and Borisov, O. (2019). An extension of a lemma of Dayawansa and its application in the design of extended observers for nonlinear systems. Automatica, 106, 178-183.

## Simulation

Выберем параметры регулятора для управления вертикальным движением

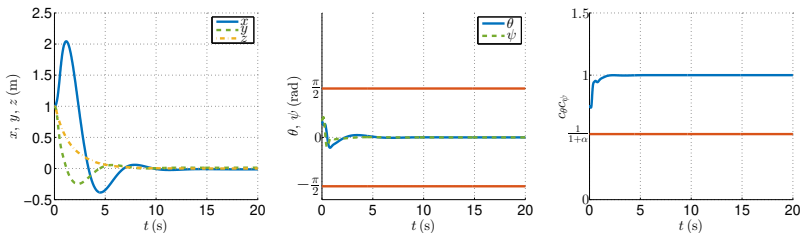
$$r_0 = 5, \quad r_1 = 10, \quad \alpha = 0.9,$$

и параметры регулятора для управления горизонтальным движением

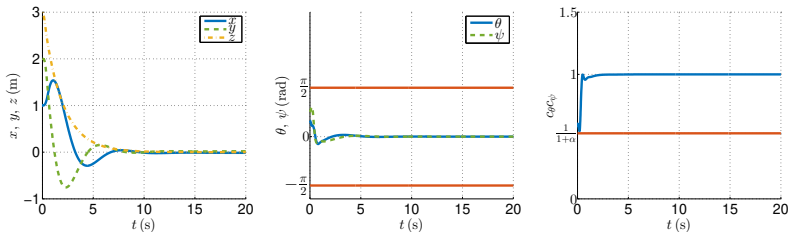
$$K = \begin{pmatrix} -100 & -100 & -100 & -10 \end{pmatrix},$$

$$a_0 = 0.01, \quad a_1 = 1, \quad a_2 = 1000, \quad a_3 = 1000, \quad a_4 = 10,$$

$$\bar{B} = \begin{pmatrix} g & 0 \\ 0 & -g \end{pmatrix}, \quad N = 100, \quad \kappa = 5.$$

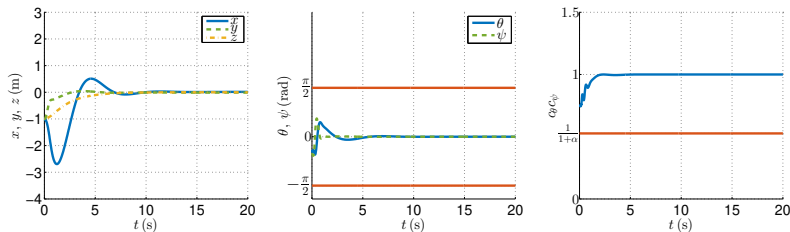


Результаты моделирования для  $x(0) = 1$ ,  $y(0) = 1$ ,  $z(0) = 1$ ,  $\theta(0) = \pi/6$ ,  $\psi(0) = \pi/6$

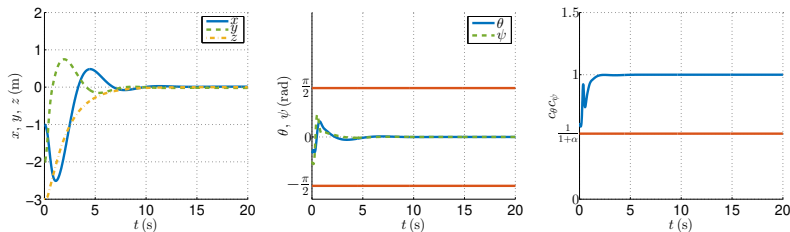


Результаты моделирования для  $x(0) = 1$ ,  $y(0) = 2$ ,  $z(0) = 3$ ,  $\theta(0) = \pi/6$ ,  $\psi(0) = \pi/4$





Результаты моделирования для  $x(0) = -1$ ,  $y(0) = -1$ ,  $z(0) = -1$ ,  $\theta(0) = -\pi/6$ ,  $\psi(0) = -\pi/6$



Результаты моделирования для  $x(0) = -1$ ,  $y(0) = -2$ ,  $z(0) = -3$ ,  $\theta(0) = -\pi/6$ ,  $\psi(0) = -\pi/4$

Спасибо за внимание!